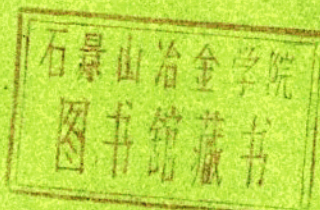




电子学译丛

上海市电子学会编译委员会编



4

上海市科学技术编译馆

电子学译丛

第四辑

上海市电子学会编译委员会编

上海市科学技术编译馆出版
(上海南昌路59号)

新华书店上海发行所发行 各地新华书店经售

商务印书馆上海厂印刷

开本787×1092 1/16 印张7 1/4 字数220,000
1963年6月第1版 1963年6月第1次印刷
印数4,000

编 号：5004·106
定 价：1.20 元

目 录

1. 晶体控制一級頻率標準	1
2. 高頻電壓的校準技術和誤差	6
3. 精密射頻衰減校準系統	12
4. 千兆赫示波器的評價	18
5. 統計脈沖取樣示波器	23
6. 4000 兆赫精密同軸線測量儀	29
7. 緊湊多孔波導定向耦合器	35
8. 小型 玉電源的設計	39
9. 磁旋高 杖開關管	47
10. 電靜計放大器	57
11. 低頻及甚低頻振蕩器概述	68
12. 間歇振蕩器的圖解分析	90
13. 硅日光電池在強日光輻照下的性能	109

电子学譯丛 五、六两輯目錄預告

第五輯要目

1. 鋸齒波調頻調制器的若干問題
2. 電視顯象管的發展趨勢
3. 電視攝象管和攝象機
4. 延遲均衡技術
5. 超正攝象管研究
6. 磁性錄音的近代理論
7. 二十年來工業電子學的發展及展望
8. 标準電阻噪音測試系統
9. 天線的未來
10. 低噪音行波管的最新發展
11. 哈佛大學 21 厘米脈澤裝置
12. 非線性導納的參變能量變換
13. 用鐵氧化物作超高頻功率絕對測量的可能性
14. 電視教育用裝在飛機上的超高頻電視發射機
15. 彩色工業電視的最新發展
16. 人造衛星通訊

第六輯要目

1. 双頻存貯的研究
2. 大容量存貯器
3. 幾種新的高速隧道二極管邏輯線路
4. 計算系統設計的新概念
5. 快速磁膜棒存儲器
6. 高速開元件的發展
7. 數字計算機邏輯部件的典型單元
8. 際態儲存示波器
9. 用改進式反射計測量電壓駐波比
10. 測量微微秒脈沖特性的自取樣系統
11. 固體物理中一些新現象在計算技術中的應用
12. 呈負阻特性的場效應晶体管
13. 硅二極管穩壓器的計算
14. $p-n-p-n$ 硅開關二極管

1. 晶体控制一级频率标准

长期稳定性方面的最新成就

T. C. Anderson F. G. Merrill

IRE Transactions on Instrumentation 1960, 9, pp. 136~140 (英文)

引言

十年前,那些經過選擇和严格加工的振蕩器,在進行長時間的老化處理以後,它們的老化率也只不過達到每月 1×10^{-9} 或 2×10^{-9} 。可是,目前那些按照規定工藝生產的振蕩器,在經過一段短時間的起始穩定期以後,就具有每月 0.1×10^{-9} 左右的老化率。貝爾實驗室設計的一種振蕩器,使用最新改進的、工作在 2.5 兆周和 50°C 的 AT 裁割的五次諧波晶体單元^[1]。圖 1 和圖 2 分別示出兩只振蕩器的老化數據,其中一只在美國國家標準局 WWV 無線電台使用,另一只在紐約州回巴尼 (Whippiany) 貝爾實驗室。其它使用這種晶体單元的振蕩器,在使用的頭幾個月內,也都具有和上述兩只振蕩器一致的老化率。

振蕩器^[2,3],具有每月 2×10^{-9} 的典型老化率。這種振蕩器雖然沒有 2.5 兆周振蕩器的低老化率,但它是很牢固的,環境溫度對它的影響較少,而且也是為大量生產而設計的。由於這些晶体單元 Q 值高和老化率低常為平衡晶体振蕩器所採用。

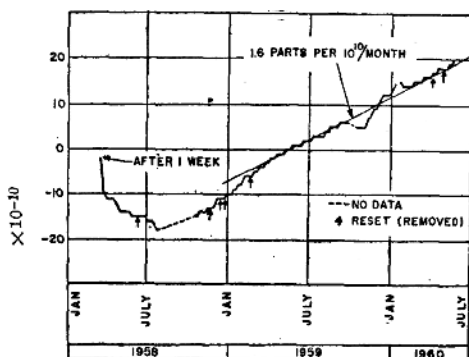


图 1 2.5 兆周振蕩器对铯频率标准比較的結果

Jan.: 一月份

July: 七月份

1.6 parts per $10^{10}/\text{month}$: 每月为 1.6×10^{-10}

After 1 week: 一星期后

...无数据

↑重新调节(移动)

我們早期用 5 兆周 75°C AT 裁割晶体設計的

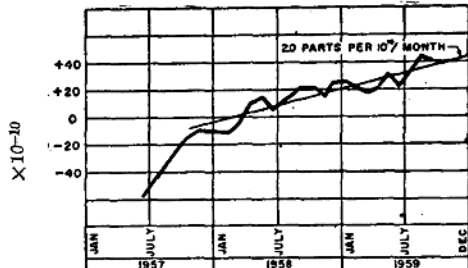


图 2 Whippiany 頻率標準对 KK2XEI
接收訊號比較的結果

Jan.: 一月份

July: 七月份

Dec.: 十二月份

20 parts per $10^{10}/\text{month}$: 每月为 20×10^{-10}

在平衡設計中,對影響頻率的每一個因素都必須和所有其他因素一樣進行測量和分析,任何一種效應估計不足,都會影響振蕩器的性能。這些因素分為三類:

- (1) 振蕩器電路元件所必需的穩定性;
- (2) 控制晶体電流;
- (3) 保持晶体溫度。

在這裡,我們將要討論一些必須考慮的重要因素。

電路說明

在皮尔斯式(Pierce type)晶体振蕩器電路中,振蕩器用一只低壓五極管作為增益元件^[4]。圖 3 就是這種比較簡單的電路,它只有幾個元件,可以通過

彻底和完全的分析来确定最佳的数值和元件所需的稳定性。该电路与皮尔斯原来的电路不同之处是增加了自动增益控制和电感器 L_1 以控制振荡振幅在甚低值及抑制不需要的谐波。

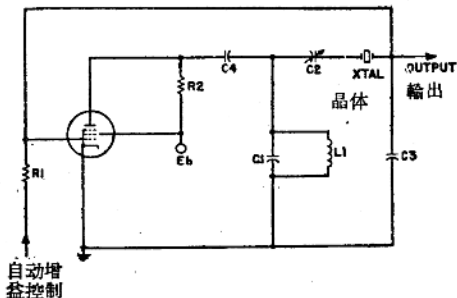


图3 单管振荡器电路

振荡器频率近似地决定于由晶体和元件 C_1 、 C_2 、 C_3 、 L_1 组成的网络或回路的谐振频率。这些元件都放在晶体恒温箱里面。可调电容器 C_2 是用来补偿晶体谐振频率的制造容差以及偶然发生的老化。其他元件，包括电子管在内，都集中装置在晶体恒温箱上，但在温度控制的内腔外面。

板极和栅极分路电容器 C_1 和 C_3 实际上还包括一些不在恒温箱里面的元件。连接电子管和晶体恒温箱内元件的同轴电缆的电容作为电子管的栅极和板极电容以及其它元件的寄生电容。负载或输出电路的电容合并到电容器 C_3 。电容 C_1 的一部分可以用作校准频率的手动控制器，它的整个控制范围为 500×10^{-10} 。

振荡器电路元件的稳定性要求

元件最大的不稳定性是栅极和板极分路电容 C_1 和 C_3 的变动。除了电子管电容以外，变动主要是由温度引起的。板极分路电容的变化，一般和栅-地电容差不多。因此最佳的设计使栅极和板极的阻抗相等，即电容器 C_3 的电抗应该等于在工作频率下的 L_1 、 C_1 并联回路的电抗。

在这种情况下，可以证明栅极分路电容应该具有由下式给出的数值：

$$C_3^2 = \frac{g_m}{\omega_0^2 R_e}$$

式中 R_e 为在工作频率 ω_0 时晶体的有效串联电阻；

g_m 为电子管所选择的工作跨导（见附录 I）。

进一步的分析证明，频率的灵敏度对来自电子

管板-地或栅-地电容变化对频率灵敏度的影响为：

$$\frac{df/f_0}{dC} = -\frac{\pi f_0}{Q g_m}$$

式中 df/f_0 为频率变化的百分数；

f_0 为振荡频率；

Q 为晶体的 Q 值（见附录 II）。

这个意外简单的公式说明了可以采取一些措施来减轻电路元件对频率稳定度的影响。

贝尔实验室设计的晶体振荡器，在电子管工作跨导为 1,800 微姆欧左右时，具有每微微法 1×10^{-9} （2.5 兆周）和每微微法 4×10^{-9} （5 兆周）的电容灵敏度。使用这些低数值的灵敏度，就有可能将电路元件不稳定度的影响减到小于 10^{10} 分之 1（在正常工作条件下）和 10^{10} 分之几（从 $0 \sim 50^\circ\text{C}$ 的温度范围）。这种低灵敏度是能够获得的，因为新的 AT 截割晶体的 Q 值高达 500 万。

线圈 L_1 并联在板极电容 C_1 两端是为了抑制晶体的不属于五次谐波的其他模式的振荡（如图 3 所示）。选择适当数值的线圈和电容，可以使板-地电抗对三次谐波和基频呈电感性，对五次和更高次频率呈电容性。为了起振，包括电容 C_1 、 C_2 、 C_3 和线圈 L_1 在内的晶体网络必须有 180° 的相位移。这种情况只有在板-地电抗为容性时才出现。这样，低于五次谐波的波就被抑制。要抑制较高的谐波（7、9 等）可以用下面两种方法来进行：(1) 降低栅-地电抗和板-地电抗；(2) 增加有效晶体电阻。这两种方法都大大地增加振荡所需的互导。

这种抑制方法是很简单的，因为它只需要一个电感。此电感对振荡频率没有影响，所以，对电感稳定性的要求不大。

振荡器电子管老化

在振荡器电子管老化方面，有两种效应是重要的：(1) 阴极发射力衰退；(2) 阴极层间阻抗的增加。阴极发射力衰退将减少激励振荡所需的偏压，从而降低晶体电流。这种情况对频率稳定度影响的程度与自动增益控制系统有关。层间阻抗增大也影响频率稳定度，因为它减少所需要的偏压并在有效跨导中产生相位角。

有效跨导中相位角所引起的频移由下式表示：

$$\frac{df}{f} = \frac{\theta}{2Q}$$

式中 θ 为相移，以弧度计算；

Q 为晶体的 Q 值（见附录 III）。

晶体 Q 值在 2.5 兆周时约等于 5×10^8 ，所以 0.01 弧度或 0.57 度的相移角将引起 10^{-9} 的频率变化。

阴极层间阻抗增大是与在阴极串接并联电阻电容的电路等效的。层间电阻增加不大时，跨导相角近似地由下式表示：

$$\theta = \frac{g_m R_k}{\frac{\omega}{\omega_k} + \frac{\omega_k}{\omega}}$$

式中 R_k 为层间电阻；

ω_k 为分路电容等于层间电阻时的频率（见附录 III）。

在频率 ω_k 时这个公式的分母的最小值为 2。所以，由层间电阻 R_k 引起的最大相角为：

$$\theta_{Rk} = \frac{g_m R_k}{2}$$

因而，频率漂移的范围是：

$$\frac{\Delta f}{f} \leq \frac{g_m R_k}{4Q}$$

注意这种效应与电路元件不稳定度效应不同，电路元件效应在高跨导时减少，而这种效应在高跨导时是增加的。跨导为 1,800 微姆欧时，在 2.5 兆周振荡器中产生 10^{-9} 的频率漂移，层间电阻至少必需增加 10 欧姆；在 5 兆周振荡器中，则至少必需增加 5 欧姆。

1959 年以前，振荡电路中使用的电子管，是用三层碳酸盐阴极制造的。这些电子管的电阻增大率为每年 50 欧姆。目前使用的电子管，涂两层碳酸盐，电阻增大率可望每年小于 10 欧姆（根据早期的试验）。在不久的将来，阴极将改用高纯度的镍，它将更进一步减少一个数量级的增大率。

层间电阻增大和阴极发射力衰减都间接地引起晶体电流的变化，它们对频率稳定度的影响将在下面讨论。

晶体电流控制

晶体单元的谐振频率与晶体电流有关，它们之间的近似关系如下式：

$$\frac{\Delta f}{f} = D \cdot I^2$$

式中 D 的典型数值是：0.2/安² 2.5 兆周 AT 截割晶体，

0.5/安² 5 兆周 AT 截割晶体。

对上式微分，可以算出，在 70 微安晶体电流时，这些晶体由于电流变化而引起的频率变化分别是 $2 \times 10^{-10}/\text{分貝}$ (2.5 兆周) 或 $5 \times 10^{-10}/\text{分貝}$ (5 兆

周)。进一步使电流减小，还可以降低这个系数，但是，同时也将降低振荡器输出信号的信号噪声比。所以，为了要获得 10^{-10} 的频率稳定性，就需要使晶体电流长期恒定于几分之一分貝。这就是图 4 所示的自动增益控制系统的作用，它是用下面两种方法来稳定的：

(甲) 在自动增益控制放大器中使用反馈；

(乙) 在整流器网络中使用正偏压。

自动增益控制放大器必须能把低电平振荡信号放大至合适的电平，其输出经整流后，作为振荡器的负偏压。放大器增益如果有某一变化百分率，在振荡信号和晶体电流中就要引起相等的变化百分率。在我们的振荡器中，使用三个新电子管的自动增益控制放大器大约具有 60 分貝增益和 34 分貝反馈。全部电子管的跨导降低 25%，对全部增益的影响小于 0.5 分貝，这只会引起 1×10^{-10} 或 2×10^{-10} 的频率变化。

针对着振荡管偏压不可避免的变化，为了使晶体电流保持稳定，自动增益控制放大器的整流输出必须远较振荡所需要的偏压为大。此输出电压中的大部分为一正的直流参考电压所抵销，余下的即为偏压。这样安排以后，激励振荡所需偏压的大的变化百分数，在整流后的自动增益控制信号中只引起很小的变化百分数，因而晶体电流变化的百分数也就小了。例如，在振荡管有效使用期间，它的偏压可以从 3 伏下降到 1 伏，降低 67%。然而，如果使用一个 16 伏的正参考电压，整流后的自动增益控制信号就从 19 伏变化到 17 伏，即下降 11%。这个数值等于 1 分貝，对振荡频率的影响将为 2×10^{-10} (2.5 兆周) 和 5×10^{-10} (5 兆周)。

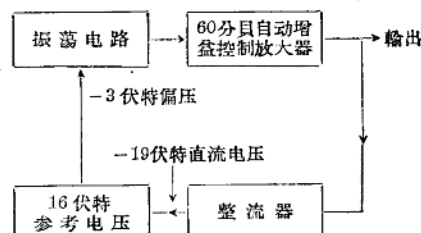


图 4 自动增益控制系统

温度控制要求

平衡振荡器设计中一个具有同等重要的要求是要适当控制晶体单元的环境温度。AT 截割波晶体谐振器的频率与温度有关，它们的关系可用下面

的經驗公式表示：

$$\frac{f_i}{f_i} = 1 - 24 \times 10^{-11} (T_0 - T_i)^2 (T - T_i) + 8 \times 10^{-11} (T - T_i)^3$$

式中 f_i 为在拐点温度 (inflection temperature) T_i (27°C) 时的频率；

T_0 为温度系数等于零时的温度 (反轉點)。溫度 T_0 与石英片的截割角有关。

我們的 2.5 兆周晶体的 T_0 限制为 43°C 至 57°C 。假如将晶体恒温箱調節到晶体 T_0 在 $\pm 1.0^\circ\text{C}$ 以內，我們就可以用上述公式計算出晶体的溫度系数永不会大于 $15 \times 10^{-9}/^\circ\text{C}$ 。因此 0.01°C 以下的溫度波动所引起的頻率变化小于 2×10^{-10} 。在較長的時間內，工作溫度的漂移每月不应大于 0.01°C ，以使晶体恒温箱溫度“老化”不会过多地影响标准的頻率老化。

由于晶体单元的“热震”效应，对溫度控制系统就有了更严格的要求。諧振頻率不仅与溫度有关，而且也与溫度的变化速度有关：

$$\frac{\Delta f}{f_i} = A \frac{dT}{dt}$$

式中 A 是一个常数，其值为 30×10^{-9} 小时/ $^\circ\text{C}$ (2.5 兆周) 和 4×10^{-9} 小时/ $^\circ\text{C}$ (5 兆周)。

假如晶体溫度以 $0.033^\circ\text{C}/\text{小时}$ (2.5 兆周) 或 $0.25^\circ\text{C}/\text{小时}$ (5 兆周) 的速度变化，将产生 1×10^{-9} 的頻率誤差。这一点說明了需要一个非常稳定的晶体恒温箱溫度，即使和 T_0 匹配时也是这样。

这些要求可用下列方法来滿足：

- (1) 晶体恒温箱的设计須使晶体外壳內不存在溫度梯度；
- (2) 用一个业已証明老化极低的热敏电阻器作为热敏元件；
- (3) 在溫度控制系统中，使用对溫度稳定的高增益晶体管放大器。

关于晶体恒温箱和溫度控制的设计，这里就不詳細討論了。

总 述

我們最新设计的精密頻率标准，在經几个月工作之后，估計的老化率为每月 0.2×10^{-9} 。这种程度的稳定性是用平衡晶体振荡器设计来获得的。本文着重討論的为下列四点：

- (1) 振荡器柵极电路和板极电路电容稳定性要求；

(2) 振荡管的影响；

(3) 控制晶体电流的要求和方法；

(4) 晶体溫度控制稳定度和老化要求。

在標準的設計中，已經將这些因素分析和計算到与晶体质量相适应的程度。

附录 I 振荡器所需的跨导

假設柵极和板极电容包含在网络里面，图 3 的振荡器电路可用图 5 的等效电路来代表。当 $-g_m Z_T = 1$ 时产生振荡。式中 Z_T 为网络的轉換阻抗，可用下式算出：

$$Z_T = \frac{Z_1 Z_3}{Z_1 + Z_2 + Z_3}$$

所以，振荡方程变为：

$$g_m Z_1 Z_3 + Z_1 + Z_2 + Z_3 = 0 \quad (1)$$

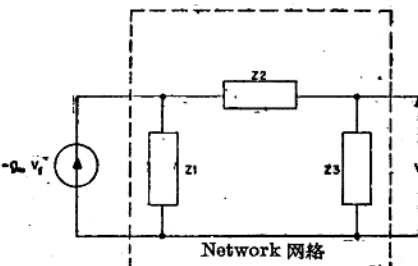


图 5 振荡器的等效电路

阻抗 Z_T 是晶体与电容 C_2 的串联阻抗。图 6 是晶体单元的标准等效电路，它包括一个用固定电容分路的串联諧振电路。串联諧振支路的阻抗近似地等于：

$$Z = R + j2\omega L \frac{\Delta f}{f_r}$$

式中 Δf 为工作頻率与串联諧振頻率 f_r 之間的差，晶体的总阻抗也可以写成：

$$Z_c = R_e + j\omega L_e \frac{\Delta f}{f_r}$$

式中 $R_e = \frac{R}{1 - 2 \frac{C_0}{C} \frac{\Delta f}{f_r}}$, $L_e = \frac{L}{1 - 2 \frac{C_0}{C} \frac{\Delta f}{f_r}}$

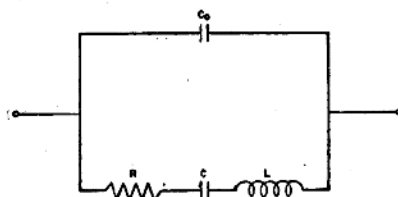


图 6 晶体的等效电路

假設在工作頻率時諧振支路的阻抗值低於固定電容的阻抗。

阻抗 Z_2 變成：

$$Z_2 = \frac{1}{j\omega C_2} + R_e + j2\omega L_e \frac{df}{f_r}$$

忽略分路阻抗 Z_1 和 Z_3 的電阻分量，它們分別為：

$$Z_3 = \frac{1}{j\omega C_3}$$

$$Z_1 = \frac{1}{j\omega C_{1eq}}$$

$$\text{式中 } C_{1eq} = C_1 \left(1 - \frac{1}{\omega^2 L_1 C_1}\right)$$

選擇適當的 L_1 和 C_1 ，就可以在工作頻率時使阻抗 Z_1 等於 Z_3 。

將這些數值代入公式(1)，得：

$$\begin{aligned} \frac{-g_m}{\omega^2 C_3 C_{1eq}} + \frac{1}{j\omega C_{1eq}} + \frac{1}{j\omega C_3} + \frac{1}{j\omega C_2} \\ + R_e + j2\omega L_e \frac{df}{f_r} = 0 \end{aligned} \quad (2)$$

利用 $C_{1eq} = C_3$ 的事實，就可將這個公式的實部寫成：

$$g_m = \omega^2 C_3^2 R_e \quad (3)$$

它就表示振盪器所需的跨導。

附錄 II 頻率對電容變化的靈敏度

公式(2)的虛部為：

$$2\omega L_e \frac{df}{f_r} = \frac{1}{\omega C_{1eq}} + \frac{1}{\omega C_2} + \frac{1}{\omega C_3} \quad (4)$$

對上式進行微分可以求出電容器 C_3 變化的影响：

$$2\omega L_e \frac{df/f_r}{dC_3} = -\frac{1}{\omega C_3^2}$$

應用公式(3)，這個公式就變成：

$$\frac{df/f_r}{dC_3} = -\frac{R_e}{2L_e g_m} = -\frac{\pi f_0}{Q g_m} \quad (5)$$

式中

$$Q = \frac{2\pi f_0 L_e}{R_e}$$

附錄 III 頻率對陰極層間 電阻增大的靈敏度

如果有效跨導中有一個小的相角移，則可以用 $g_m(1+j\theta)$ 代替公式(2)的 g_m 來加以分析，式中的 θ 以弧度計。

這就使公式(2)的虛數部分增加了一項：

$$\begin{aligned} 2\omega L_e \frac{df'}{f_r} = \frac{1}{\omega C_{3eq}} + \frac{1}{\omega C_2} \\ + \frac{1}{\omega C_3} + \frac{g_m \theta}{\omega^2 C_{3eq} C_3} \end{aligned} \quad (6)$$

減去公式(4)，找出上述的 θ 效應，並以公式(3)的 g_m 值代入，這樣就得到：

$$\frac{df''}{f_r} = \frac{\theta}{2Q} \quad (7)$$

在這個式子里， df'' 是跨導中的相角移所引起的頻率變化。

有效跨導與層間阻抗的關係如下：

$$g_m(1+j\theta) = \frac{g_0}{1+g_0 Z_k} \quad (8)$$

式中 g_0 為有效跨導；

Z_k 為層間阻抗。

式中的 Z_k 等於：

$$Z_k = \frac{R_k}{1+j\omega C_k R_k} = \frac{R_k}{1+j \frac{\omega}{\omega_k}}$$

式中： $\omega_k = \frac{1}{C_k R_k}$

以之代入公式(8)，整理後得：

$$g_m(1+j\theta) = g_0 \frac{1+g_0 R_k + \left(\frac{\omega}{\omega_k}\right)^2 + jg_0 R_k \frac{\omega}{\omega_k}}{(1+g_0 R_k)^2 + \left(\frac{\omega}{\omega_k}\right)^2}$$

和

$$\theta = \tan^{-1} \frac{g_0 R_k \frac{\omega}{\omega_k}}{1+g_0 R_k + \left(\frac{\omega}{\omega_k}\right)^2} = \frac{g_0 R_k}{\frac{\omega}{\omega_k} + \frac{\omega_k}{\omega}}$$

最後的近似假定 $g_0 R_k$ 遠小於分母的其他各項。

參考文獻

- [1] A. W. Warner, "Design and performance of an ultra precise 2.5 megacycle quartz crystal unit," Bell Sys. Tech. J., Vol. 39, pp. 1193~1217, September, 1960.
- [2] E. P. Felch and J. O. Israel, "A simple circuit for frequency standards employing overtone crystals," Proc. IRE, Vol. 43, pp. 596~603, May, 1955.
- [3] P. Antonucci, J. O. Israel, E. B. Mechling, and F. G. Merrill, "A portable frequency standard for navigation", IRE Trans. on Instrumentation, PGI-4, pp. 116~127, October, 1955.
- [4] W. A. Edson, "Vacuum Tube Oscillators," John Wiley and Sons, Inc., New York, N. Y., 1953.

(曾穩威譯 戈錦初校)

2. 高頻電壓的校準技術和誤差

E. Uiga W. F. White

IRE Transactions on Instrumentation 1960, 9, pp. 274~279 (英文)

一個正確的“伏”單位可以根據電磁或靜電的定義推導出來。但是，在實用和法律方面（在美國——譯者注），一伏的值是由美國國家標準局規定和認可的數值。然後將它轉換成工作標準並應用到計量儀器中去。可惜，在這個轉換過程中，伏單位多多少少已經帶來了一些誤差。其原因如下：

- (1) 工作標準精密度的限制；
- (2) 工作標準穩定度的限制；
- (3) 校準誤差。

本文主要談校準誤差。這些誤差可能在人們使用微伏電位差計、高頻轉換標準、A-T 伏特計作為工作標準校準高頻電壓時出現。

上述三種電壓標準，有很多共同之處，同時也都容易發生相同的校準誤差。一則，它們都使用絕緣式真空熱電偶作為穩定的高頻裝置，這些高頻裝置的直流輸出是不受到交流燈絲加熱電流的頻率影響的。其次，它們都與電容式衰減器或穩定電阻的高頻性能有關。再次，它們都是通過熱電偶，把高頻測量問題轉化為一個更簡便的直流測量問題。

微伏電位差計是穩定的低電平源。高頻電壓是由一已知的熱電偶電流流經一小的已知電阻而產生的。電流是由一實驗室用的發生器所輸出，並使其值對所有的頻率都保持恆定，方法是使用一個外接毫伏計來監視熱電偶的直流輸出。電阻有特殊的圓盤形結構，因而與頻率無關。市上出售的成品，有 50 毫伏至 0.5 伏的輸出電壓，而且從直流至 500 兆周或更高頻率，將保持它們的電壓恆定在 $\pm 5\%$ 。

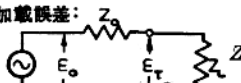
高頻轉換標準也含有一个熱偶電阻的組合。這是以一種特殊裝置的棒形電阻作為輸入裝置以產生與一未知交流電壓成比例的、對頻率無關的電流。此電流流經熱電偶並且產生一定的直流輸出。然後將裝置轉接到直流源，調節直流源，直至熱電偶的輸出指示出流經電阻和熱電偶的電流相同為止。用標準方法來測量直流電壓，它的數值是未知交流電壓的均方根值。這種轉換器已被用來測量從低於 1 伏至 200 伏的電壓，從直流至 30 兆周，準確度高於 $\pm 0.25\%$ 。

A-T 伏特計的作用大致同熱電壓轉換器一樣。這裡的輸入電阻用一低於截止頻率的可調波導衰減器來代替。衰減器通常調整得使一恆定的電流流經熱電偶，以固定的熱電偶直流輸出指示調整的情況。假如事先將衰減特性測定為機械調節位置的函數，那麼，就可以通過這個位置和頻率而測定未知電壓。因為所用的衰減器是一種電容性裝置，所以 A-T 伏特計對頻率的響應特性是不均勻的。它們的響應基本上是每倍頻率 6 分貝，頻率愈高，其靈敏度愈增加。已經製成的 A-T 伏特計，可以用来測量 1 伏以上的電壓（從 150~500 兆周或更高的頻率）以及 30 伏以上的電壓（10 兆周以上的頻率），校準準確度為 $\pm 1\%$ 。

當檢定和應用工作標準時，最常見的校準誤差有：

- (1) 人為誤差。
- (2) 加載誤差。
- (3) 傳輸誤差：
 - (甲) 接線的電壓降；
 - (乙) 摘拾雜散場；
 - (丙) 傳輸線效應。
- (4) 接地電流誤差：
 - (甲) 电源頻率的接地電流；
 - (乙) 訊號頻率的接地電流。
- (5) 噴響與波形誤差。
 - (1) 人為誤差：除了可能對校準裝置和校準技術認識不足以外，讀數標尺的視差關係最大。使用如圖 1 所示的光學讀數裝置時，可以使讀數誤差減少到 0.1% 左右。這種裝置可以使放大的標尺圖象和指針投影到毛玻璃板上，因而減少讀數人員的疲勞並且消除視差。
 - (2) 加載誤差：當使用電動勢已知的校准過的電源而不用端電壓作為標準時，加載誤差是重要的。電源阻抗的電壓降使端電壓和電動勢不等：

加載誤差： Z_L

$$E_T = E_0 \frac{Z_L}{Z_0 + Z_L}$$


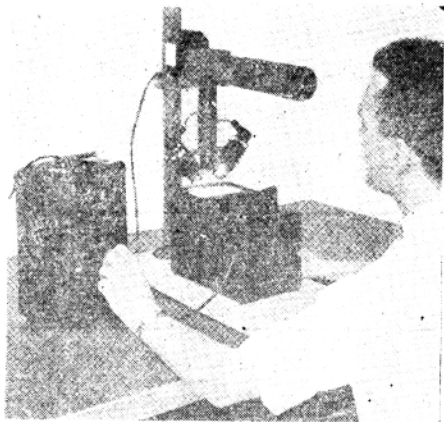
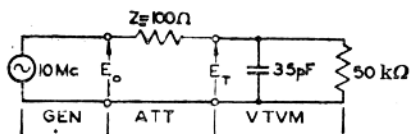


图 1

如果是真空管伏特表，采用这个公式的时候，就应该注意输入阻抗的实数部分在频率较高时降低很多。

例如：使用一个电源阻抗为 100 欧姆的梯形衰减器校准真空管伏特表，频率为 10 兆周，伏特计的阻抗为 50 千欧和 35 微微法并联。

例：



Gen 发生器
Att: 衰减器
VTVM: 真空管伏特表

$$E_T = E_0 \frac{Z_L}{Z_0 + Z_L} = E_0 \frac{Y_0}{Y_0 + Y_L}$$

$$= E_0 \frac{10^{-2}}{10^{-2} + 2 \times 10^{-5} + j \times 6.28 \times 10 \times 10^6 \times 35 \times 10^{-12}}$$

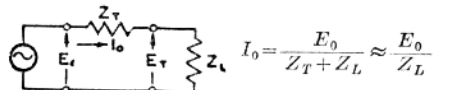
$$= \frac{E_0}{1.024}$$

端电压降落 2.4%

(3) 傳輸誤差：傳輸誤差是標準電壓和校準儀器輸入端電壓之間的差值。誤差是由電源和儀器之間的接線所引起的。現將三種傳輸誤差的來源討論如下：

(甲) 接線的電壓降：當校準高輸入阻抗伏特計時，接線的電壓降是可以忽略的。但是，在高頻時，接線應該尽可能短。現將接線阻抗的電壓降效應推導如下：

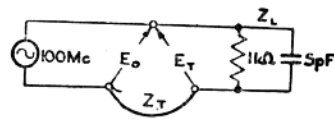
接線的電壓降：



$$E_T = E_0 - I_0 Z_T = E_0 \left(1 - \frac{Z_T}{Z_L} \right)$$

舉例：一個伏特計，具有 1 千歐姆和 5 微微法並聯的阻抗，連接到 100 兆周的標準源上。使用 4 尺的 18 號線作為接地線，電感為 0.1 微亨。

例：



4 尺 18 號線
 $L = 0.1$ 微亨

$$E_T = E_0 \left(1 - \frac{Z_T}{Z_L} \right) = E_0 \left(1 - Z_T Y_L \right)$$

$$= E_0 [1 - j \times 6.28 \times 100 \times 10^6 \times 0.1 \times 10^{-6} (10^{-3} + j \times 6.28 \times 100 \times 10^6 \times 5 \times 10^{-12})]$$

$$= E_0 (1 + 0.197 - j \times 0.062) \approx 1.2 E_0$$

端電壓上升 20%。

(2) 檢拾雜散場：由接線形成的環路將檢拾雜散場。在磁場密度為 B (高斯) 面積為 F (平方吋) 的環路中的感應電壓 (E) 為：

$$E = 6.45 \times B \times F \times \omega \times 10^{-8}$$

就 60 周的磁場來說，環路面積為 100 平方吋的感應電壓是 2.4 毫伏/高斯。

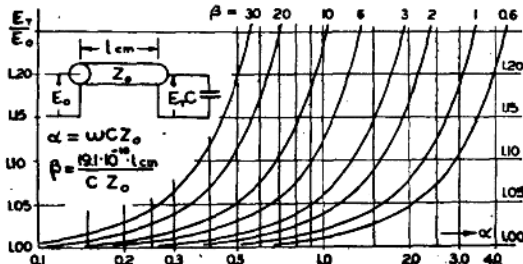
在實驗室中，工作台上的雜散場密度一般是幾分之一高斯，在電源變壓器附近一般是幾個高斯，在一個用磁性方法調節的變壓器附近一般是幾十高斯。對於低電平的校準工作來說，應該考慮到檢拾這種干擾的可能。

當實驗室存在高頻時，情況就更為嚴重。應該在每一個方面都要小心，盡量減少環路面積。

(丙) 傳輸線效應：頻率在幾兆周以上時，電壓源和儀器輸入端之間的距離就不能忽略。因此要考慮傳輸線效應，特別在電壓源相互連接的阻抗和校準裝置的阻抗不匹配的時候。

在較高頻率時，大多數裝置的輸入阻抗為電容性。電容性輸入阻抗可以根據傳輸線公式推導出下面的公式和曲線，以求出線中的電壓降落或電壓上升。用史密斯 (Smith) 圓圖也可以獲得相同的結果。

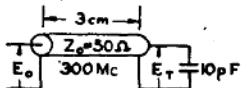
傳輸線效應例：



$$L^0 = 360 \frac{L_{cm}}{\lambda_{cm}} = 12 \times 10^{-8} \times f_{cps} \times L_{cm}$$

$$\frac{E_r}{E_0} = \frac{1}{\cos L^0 - \alpha \sin L^0}$$

例：輸入阻抗 10pf 的伏特計，用一個微伏電位差計在頻率為 300 兆周的條件下校準，伏特計輸入和微伏電位差計之間用一個 3 厘米長、 $Z_0=50$ 欧姆的同軸連接器。傳輸線的誤差為：



$$\alpha = \omega C Z_0 = 6.28 \times 300 \times 10^6 \times 10 \times 10^{-12} \times 50 = 0.94$$

$$\beta = \frac{19.1 \times 10^{-10} \times 1}{C Z_0} = \frac{19.1 \times 10^{-10} \times 3}{10 \times 10^{-12} \times 50} = 11.4$$

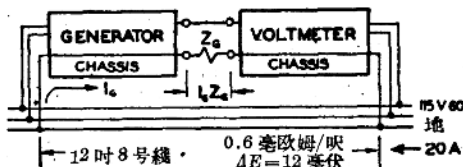
$$\frac{E_r}{E_0} = 1.23$$

电压上升 23%

(4) 接地電流誤差：接地電流誤差出現於當訊號電流或电源频率电流在接地回路流過的時候。由於接地線的電壓降、以及由於伏特計或多或少地對接地電流有所反應，這些電流將引起誤差。

(甲) 电源频率的接地电流：當一個校准裝置中有好几个接地處的時候，就會出現电源频率的接地电流。下圖所示是一個典型的情況：

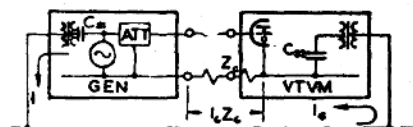
接地電流誤差：



Generator: 發生器
Chassis: 底板
20A: 20 安培

Voltmeter: 伏特計

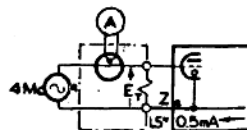
(乙) 訊號頻率的接地電流：在校準高頻電壓時，訊號頻率接地電流的影響通常是最難處理的問題。它們的來源和機構都是難以解釋和找出的。然而，可以使用靈敏的安培計來測量接地電流，並把它的數值減到很小。下面是一個典型的訊號接地電流圖：



Gen: 發生器
VTVM: 真空管伏特表
Att: 衰減器

杂散电容 C_{s1}, C_{s2} 、电源线以及机內的振蕩器 E_0 形成一个接地回路。接地電流 I_G 在伏特計的接地阻抗中引起电压降 $I_G \cdot Z_G$ 。例如：用一微伏電位差計來校準 1 毫伏、4 兆周範圍的伏特計；用常用的接線柱作為輸入端。在接地回路中測量出 0.5 毫安的接地電流。

例：



$$E_T = I_m V \quad L_G = 0.015 \mu H$$

$$\Delta E_G = I_G Z_G$$

$$= 0.5 \times 10^{-3} \times 6.28 \times 4 \times 10^6 \times 0.015 \times 10^{-6}$$

$$= 0.19 \times 10^{-3} = 0.19 \text{ 毫伏}$$

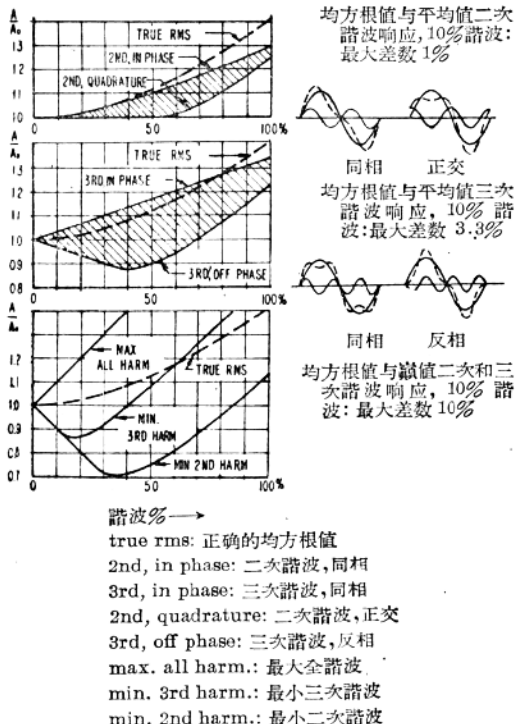
可能誤差 $\pm 19\%$

(5) 呼應與波形誤差：當使用一個非正弦波的標準電壓時，電壓標準的呼應與校準裝置的呼應不同，即校準標準的呼應特性為均方根值而被校裝置的呼應特性為平均值，這就有可能產生波形誤差。下圖所示為呼應之間的差別^[1]。

為了要使呼應與波形誤差減小到校準準確度的 $1/10$ 左右，所以在比較均方根和平均呼應特性時，最大失真度應為校準準確度的 $1/2$ 左右；在比較均方根值和峰值呼應時，最大失真度應為校準準確度的 $1/10$ 左右。

圖 2 為微伏電位差計和它的電路圖。微伏電位差計在校準灵敏的寬頻帶伏特計時是極有價值的。這裡應用它們來代替可調衰減器輸入端通常的電平監示電路，電平監示器不確定性（包括準確度的不確

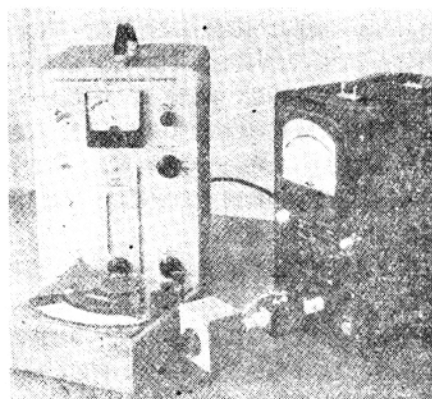
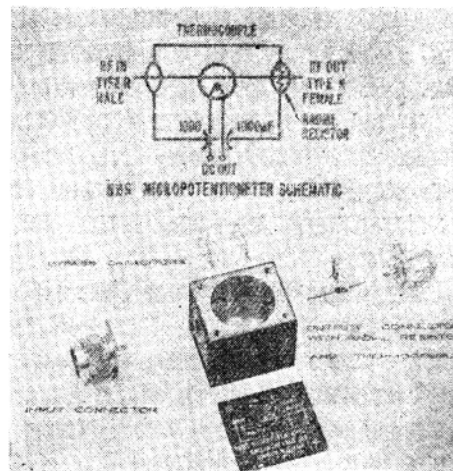
响应与波形误差



定以及监视器稳定度的不确定)以及衰减器的不可靠的频率响应特性(特别是对大衰减比来说),可由一个微伏电位差计的已知准确度和响应来代替。

但是,同其它的工作标准一样,微伏电位差计也容易发生上述的校准误差。特别是传输误差、接地电流误差、响应与波形误差等均可以严重地影响测量准确度。图3是一套用微伏电位差计来校准灵敏的宽频带伏特计的装置,我们用它来说明这些影响。

这套装置里有若干回路,由杂散场感应起的电压足以影响校准的准确度。高频场能够进入直流热电偶电路,在接点上发热从而对结果产生影响。因此,在直流毫伏计的引线进入微伏电位差计外壳的地方,都使用高频旁路电容器。这些引线都绞起来并且予以屏蔽。内部的热电偶直流引线位于一个平面内而且和绝缘的射频加热电路成直角,所以这两个电路之间的相互作用不大,但是,不论是讯号频率还是电源频率的杂散场,都很容易进入由微伏电位差计输出电阻和被校真空管伏特表所组成的回路。因此,应该使这个电路尽可能的短,并且要作适当的屏蔽。



到100兆周以上,由于传输线效应所引起的误差就变得重要了。假定被校装置具有一个输入电容C,并且用一条短的同轴电缆接到微伏电位差计上去。在“传输线效应”下所示的曲线是电缆终端上电压上升的曲线,此曲线与微伏电位差计的输出稳定有关,并为电缆特性和负载电容C的函数。对于其

它的电缆终端负载来说，可以根据传输线公式计算误差。为了使误差减到最小，电缆接线就应该尽可能短。假使传输线终端的负载接近它的特性阻抗，误差就可以大大减小。假如我们在微伏电位差计和被校设备之间使用无损耗传输线——它的长度刚好为半波长的整数倍，那么就可以完全消除传输线效应。当然，这样以来，换一个新频率就要重新调整一次。

理想上，我们希望在伏特计输入管的栅对地电压是微伏电位差计输出电压的一个已知分数。但是如果有一可观的交流电流流经接地系统，那么，在微伏电位差计输出接头和伏特计输入管之间的接地系统中存在的任何阻抗两端都将产生电压降。此电压降与微伏电位差计输出串联并成为一个附加的电压源。对微伏电位差计的微伏或低毫伏范围的输出来讲，此电压很容易引起5%或更高的误差。

减小这种误差的可能办法有三：第一，减小接地电流；第二，减少产生电压降的阻抗；第三，把接地电流引到其它的路线去。第一种办法是最容易的，只要用一个附加的隔离变压器就行了。这个变压器可以接在信号电路里也可以接在电源线上。但是无论在哪一种情况下对接地电流频率的信号，变压器初次级之间的耦合一定要很小。对第二种方法来说，必须尽可能缩短微伏电位差计和被校设备之间的接线距离。用同轴接头比用接线柱或香蕉插头好，而且必须对所有的接头（焊接的或其他形式的接头）特别小心。对于第三种方法，我们必须另外准备一个供接地电流通过的路线，使接地电流不通过被校设备。这可以将被校设备放在一个导体表面上，从这个表面以低阻抗接地片连接到微伏电位差计的输出接地和真空管伏特表的接地点。

因为微伏电位差计依赖于射频电流通过热电偶的热效应，所以它是一个均方根值响应装置。在很多情况下，它的输出电压被用来校准平均值或峰值响应仪器。所以必须注意波形误差。例如，一个有20%三次谐波的非正弦波将使它的均方根指示值比只有基波时的均方根值有2%的变化。这样一种信号可以在平均值响应装置中产生大到6.7%的误差（视相位关系而定），使峰值装置中读出20%的误差。

在高频时，是难以测量信号的谐波分量的，所以要很小心地将同轴滤波器放在发生器和微伏电位差计之间，以消除任何可能的谐波。传输线效应可以

沿着失配接线产生比预期高得多的电压。由于这种影响是频率的函数，谐波受影响的程度比基波讯号电压为大。因此，要尽可能将相互之间的联接缩到最小程度，并使发生器至微伏电位差计的传输线近于匹配。

图4是高频转换标准和它的线路简图。将未知交流电压输入到探头，平衡检流计。然后将探头插入仪器箱的直流插座中，再平衡。这样，未知交流电压就等于再平衡时所需的直流电压。

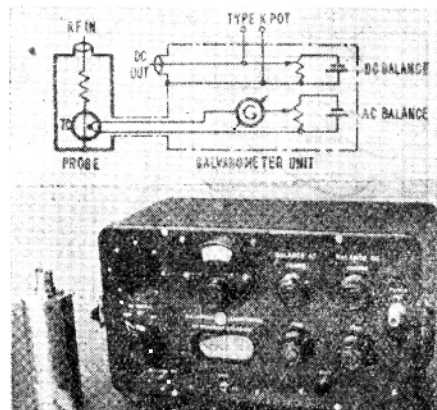


图4 高频转换标准

rf in: 射频输入
probe: 探头
DC out: 直流输出
type K pot: K型电位差计
DC balance: 直流平衡
AC balance: 交流平衡
galvanometer unit: 电流计单元

图5为A-T伏特计和它的线路简图。工作在截止频率以下的波导衰减器是根据一个特殊的部件来进行机械加工的，然后经过磨、电镀、擦准、到最后抛光。图5也示出了一只A-T伏特计的以频率为函数的灵敏度曲线略图。

高频转换标准和A-T伏特计都基于产生热电偶电流并与未知输入电压成正比的工作原理，因此，它们有相同的校准误差。由于这两种装置都需要1伏特左右或更高的输入电压，它们都不受低电平效应的接地电流误差的影响。然而，其它的校准误差它们都有，尤其是传输误差、响应和波形误差的影响，必须特别严格地加以考虑。

对于任何传输线来说，电压的大小将沿着传输线的距离而变化——除非传输线终端接入等于其特性阻抗的负载。假如我们使用一段同轴传输线将未知电压连接到高频转换标准或A-T伏特计去，伏特

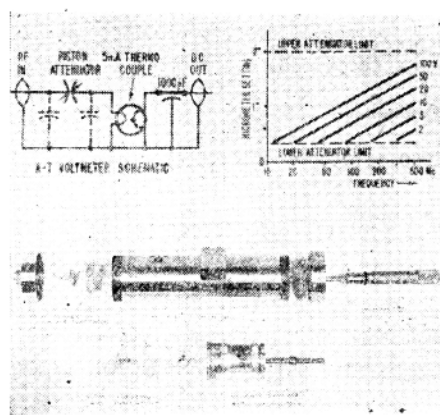


图 5 美国国家标准局 A-T 伏特計

rf in: 射頻輸入

piston attenuator: 活塞衰減器

5ma thermocouple: 5 毫安熱電偶

DC out: 直流輸出

A-T Voltmeter schematic: A-T 伏特計線路簡圖

upper attenuator limit: 衰減上限

lower attenuator limit: 衰減下限

micrometer setting: 測微計指示

frequency: 頻率

計的電容負載將對傳輸線發生影響而使未知電壓點上的電壓上升或下降。這個變化的大小不僅決定於高頻轉換標準或 A-T 伏特計的輸入電容，而且還決定於頻率、傳輸線本身的特性和它的長度。用於測定這個電壓變化的輸入電容應該不在低頻而在實際工作的頻率上進行測量，因為兩者常常有相當大的差別。舉個例子來說：在低頻時，A-T 伏特計的輸入電容為 4.2pf ，而在 700 兆周時，輸入電容就在 5.1pf 左右。假如現在以只有 1 厘米長、50 歐姆的傳輸線將 A-T 伏特計連接到未知電壓上，那麼在 700 兆周時，指示的電壓將有 20% 誤差。

在大多數情況中，高頻轉換標準和 A-T 伏特計是用於校準其它儀器的。但這就是說，在高頻時又要考慮另一個傳輸線。舉個例子來說，標準伏特計和被校準裝置可能由一個 T 型接頭連接到發射器上去。如果我們以接頭的中心為參考點，那麼，由於終端負載失配，沿着兩根饋線到兩個伏特計的傳輸線上，電壓將上升。

為了要在高頻時使這個誤差減至最小，一定要尽可能想办法把接線的長度縮短到接近於零。圖 6 所示為達到這個目的的方法之一。這裡我們使用 A-T 伏特計來校準一個二極管式伏特計。事實上，

兩個儀器的輸入都是連接在一起的。饋入兩個伏特計的同軸傳輸線的中心導體做成扁平絕緣帶的形式接到它們的接頭上。這樣一種端接負載將沿着輸入同軸線產生大的電壓變化，但是，不管這些變化如何，兩個伏特計將會尽可能地接近相同的電壓。

當使用高頻轉換標準或 A-T 伏特計時，另一個重要的誤差是由波形失真所引起的誤差。兩種電壓標準都與真空管熱電偶的熱效應有關。所以，兩者都是均方根值響應裝置。如果我們使用它們來使均方根響應以外的工作儀器標準化，就會發生嚴重的誤差。此外，傳輸線效應可以嚴重地改變訊號的譜波分量。

再來考慮圖 6 所示的裝置。假定發生器正工作於 250 兆周的頻率，並有 1% 三次諧波和 1% 五次諧波。再假定我們把發生器和被校準真空管伏特表之間的連接電纜縮短到只有 3 厘米長。假定連接電纜有 50 歐姆的特性阻抗，並且終接著一個 10 pF 的電容負載，這個電容負載代表 A-T 伏特計和二極管式伏特計總的輸入電容。那麼，正如下面所指出的，這些條件等於把一個有 5% 左右的三次諧波和 0.4% 左右的五次諧波的訊號加到兩個伏特計上去。大的三次諧波在均方根響應 A-T 伏特計只引起 1% 的誤差，但是，隨著不同的相位關係，可以在峯值響應的電壓表的校準中產生直到 5% 的響應誤差。

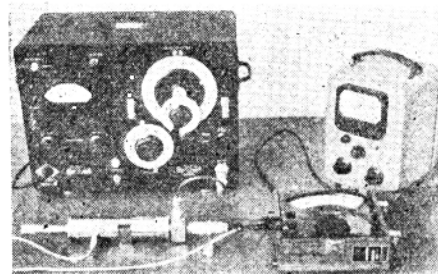
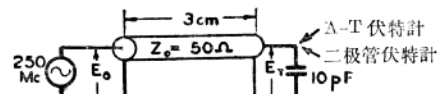


图 6

例：波形誤差



$$E_T = A \sin \omega t + 0.01A \sin (3\omega t + \theta_1)$$

$$+ 0.01A \sin (5\omega t + \phi_1)$$

$$\frac{E_T}{E_0} = \frac{1}{\cos 1^\circ - \omega C_0 \sin 1^\circ} \quad 1^\circ = 360 \frac{1}{\lambda}$$

(下接第 17 頁)

3. 精密射頻衰減校準系統

C. M. Allred C. C. Cook

IRE Transactions on Instrumentation 1960, 9, pp. 268~274 (英文)

引言

由于电子学的不断发展，高精确度衰减测量的需要日益增加。为了满足这方面的要求，已經发展了一种精密的和准确的衰减测量系统。

这里所討論的是工作在 30 兆周的校准系统，但是，正在制造之中的是一些用于其它频率范围的类似的系统。采用单一工作频率的目的在于可以增加系统的稳定性、扩大測試范围、减少漏損問題从而提高总的准确度。

衰減測量系統

系統概述

为了要获得一种灵敏度为 0.001 分貝、准确度

为千分之几分貝、测量范围超过 120 分貝的测量系統，就需要进行严密的設計和应用特殊的技术。要测量这么大的衰減范围，指示器就應該具有 10^8 或更大的电压增益。由于考虑到这样一种指示器的稳定性問題和 0.001 分貝的灵敏度問題，就决定以双道系統工作并使用一种零响应特性。大家知道双道技术的应用大大地减少了电源电平系統不稳定性和指示器增益不稳定性的问题。在这样的系統中，高灵敏度也是它所固有。可以这样說，系統的复杂性的增加以及相位和量值都要調整是获得这些优点所付出的代价。衰減測量系統方框图示于图 1。

射頻源是一个 30 兆周晶控发射机，有 200 瓦特的输出功率，残余調制低。用一个专用的阻抗匹配网络使活塞衰減器激励线圈的低阻器件同 50 欧姆

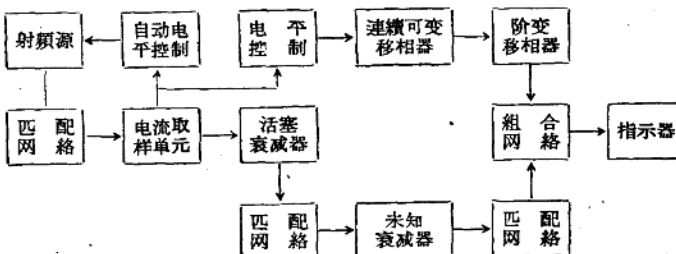


图 1 衰減測量系統方框图

的訊号源耦合。激励线圈的电流供给含有移相器的电路，同时也输出到连接訊号源的自动电平控制网络。这个网络使激励线圈的电流保持恒定。具有低入射电平变化的連續可变精密移相器連接到阶变可調移相器。被校准衰減器接在含有活塞衰減器电路中的两个匹配网络之間。将二条电路一起引到一个专门的組合单元上，这个組合单元对每一条电路提供正确的阻抗，使电路之間的相互作用減到最小，而且具有低的插入損耗，最后再配一个高增益的指示器。

测量方法是：調整标准衰減器和移相器，直至获得零响应为止。测量进行两次：接入和不接入被校准衰減器各一次。标准衰減器和移相器讀數的变化

給出了所求的衰減和相移的值。

在目前的形式中，移相器沒有准确的位移测量装置，也沒有計算系統相位測量特性的企图。

图 2 和图 3 分別示出安装在校准台中的整套系統的前視图和后視图。

標準衰減器

特性 活塞衰減器被广泛地应用于精密衰減測量。这种衰減器的主要优点在于衰減是用基本单位——长度与時間(频率)来测定的(除了二次效应以外)，此外，它通常不严格要求精密的阻抗匹配。

衰減器也有它的缺点。它基本上是一种无耗散仪器，当衰減改变时，与其說它是吸收还不如說它是

反射能量。結果，对線性工作來說，最小的插入損耗是很高的，而且，端阻抗是電抗性的。通常，为了阻抗匹配，而使用频率灵敏的网络。由于波导材料的磁导率及有限电导率的关系，又引起了另外一个問題：材料的磁导率和有限电导率对衰減常数引起二阶效应。因而就需要测定波导管壁材料的磁导率和电导率。由于衰減常数 α 是频率的慢变化函数，沒有修正就不能在寬頻范围内使用单一的标尺。只能測出輸出訊号比；如果需要测量输入与输出之間的关系，那就需要改用其它的方法。

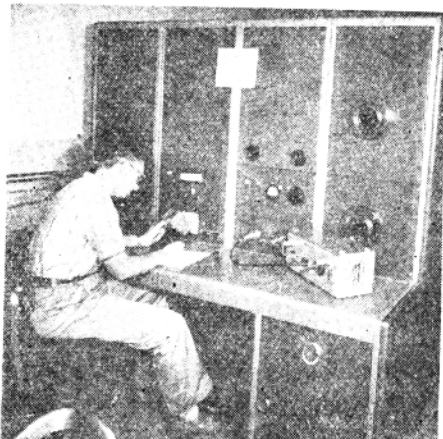


图 2 衰減測量系統前視圖

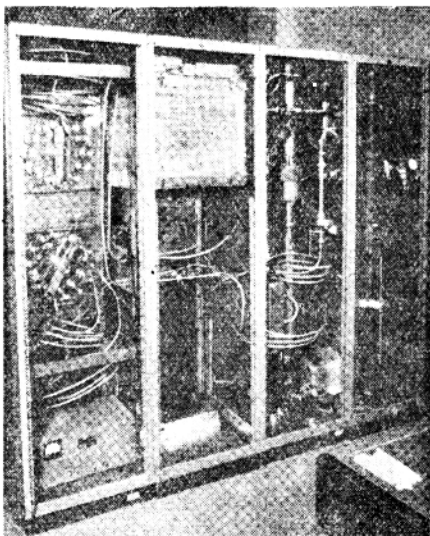


图 3 衰減測量系統後視圖

原理 一均匀、理想导电的波导內的場可以表示为若干模式的一个綫性組合。每一模式的場分量

都与量 $e^{-\gamma z + i\omega t}$ 成比例，式中的傳播常数 γ 是純虛数，完全决定于波导的尺寸和频率。

低于截止频率时， γ 变为純实数，而場以指數率衰減，衰減速度与模式有关。为了保证模式在高衰減电平时的純度，一般都使用具有最小衰減率的模式。

在实际情况下，波导壁的磁导率和有限电导率，以及波导内媒质的特性将在上述傳播常数上加上一个小小的虛部和实部。

下面是求 TE_{11} 模式傳播常数的一个良好的近似公式：

$$\begin{aligned} \gamma = & \frac{p_{11}}{a} \sqrt{1 - \left(\frac{2\pi af}{p_{11}C} \right)^2 - \frac{1}{a\sqrt{\pi\mu f\sigma}}} \\ & \times \left[1 + j \left\{ 1 - \frac{1}{1 - \frac{1}{a \left[1 - \left(\frac{2\pi af}{p_{11}C} \right)^2 \right] \sqrt{\pi\mu f\sigma}}} \right\} \right] \end{aligned}$$

式中：

a =波导半徑；

$p_{11}=1.8411838$ ，它是一个常数，是第一类一阶贝塞尔函数的第一个导数的第一个根；

f =频率；

C =在一无限媒质(其电性能与在波导管內者相等)中的光速；

μ =波导管壁的磁导率。

完全使用米·千克·秒(MKS)单位制。工作频率在截止频率以下时，与真空相較，即使忽略了波导管中潮湿空气的影响，所引起的誤差还不到 1×10^{-7} (在真空中的 $C=299793.0 \pm 0.3$ 公里/秒)。

圓波导 在这里所討論的装置中，使用的是圓波导，波导中激发 TE_{11} 模式的場。激励綫圈和接收綫圈的相对位移用标准尺和光学投影仪来测量。任何 6 小時隔中标尺都准确到 0.0001 小時。

波导是用黃銅組成的，外徑 3.9 小時，長 22.3 小時，內徑是根据每小時 10 分貝衰減率的标准来选择的。沿着波导每隔 2 小時测量一次波导內徑，求得其平均值为 3.19725 小時，最大誤差为 0.00003 小時。測量准确度 $\pm 50 \times 10^{-6}$ 小時。这些測量是在 68°F 下进行的，而系統在工作时的溫度約比这个溫度高 4°F 左右。不銹鋼标尺的热膨胀系数与黃銅波导管差不多。假如它們相同的話，溫度变化可以忽略。假定它們的热膨胀系数有百万分之五(20%)的差別，可以計算出 4°F 的溫度变化所引起的誤差是每 10 分貝 0.0001 分貝。波导直徑中 0.0001 小時的不确定度在

68°F 时，使每 10 分貝增加 0.0003 分貝的誤差。波导管的直流电导率为每米 1.35 姆欧。根据 Chamber、Pipard、Bussey 等的报告，保守的說，射频电导率不会低于直流值的 90% 以上。假定射频电导率是直流值的 95%，那么这个电导率数值不确定度为 $\pm 5\%$ 。这样的不确定度将对每 10 分貝引起 0.00026 分貝的誤差。

波导内壁镀上一层薄的銻 (5~10 微吋)。它給活塞的銀滑动接触提供一层坚硬的表面，同时依靠它来防止对黃銅表面的侵蝕。涂銻以后波导管表面的有效电导率与黃銅的有效电导率的差別可以忽略。

輸入装置

活塞衰減器的輸入装置是很重要的，因为它在整个測量范围内起着主要的作用。高的起始插入损耗为活塞衰減器所固有，它的起因由于模式純度不佳以及当綫圈距离小时輸出、輸入的相互作用所致。因此，这里的輸入装置要能够激励单一的 TE_{11} 模式，且其强度要和輸出綫圈的位置无关；或者，要能有这样一种輸入装置，它能够激励所需的模式并有很高的强度，因而輸出綫圈毋需緊靠輸入綫圈。这两种方案都同时被利用。Barlow 和 Cullen 使发生器和負載电阻的量值等于衰減器的特性阻抗来减少相互作用影响。Weinschel、Sorger、Hedrich 則把整个衰減器作为一个互感耦合的調諧帶通滤波器，并調整发生器阻抗以获得对綫性的最小偏差从而減少相互作用的影响。

这里所用的方法不同。如果能够使波导横断面的空間电流分布图和 TE_{11} 模式的電場图案一样，所需的递減模式将从电流片（即横断面上的空間电流分布图）在两个方向上激励。而且，假如电流片是恒定的（无限阻抗发生器），并与拾波綫圈反射无关，那么相互作用的影响将不存在。上述的条件，是用依照上面的图案构成激励綫圈来获得的（見圖 4）。恒定电流片的特性是通过下列办法获得的：将激励电流取样并负反馈至射頻訊号源以保持这一电流的恒定。

衰減器波导管延伸到激励綫圈以外有双重目的。由于拾波綫圈吸收能量的关系，因而一定产生一个反射場。这个反射場通过激励綫圈时相互作用較小，并为波导管的延伸部分所終止，激励綫圈在波导延伸部分中激发的場也同样被終止。

匹配激励綫圈低阻部分（估計为 0.01 和 0.1 欧之間）的問題也是极难的。現在使用特殊网络来达

到这个目的，此特殊网络利用梯形布置的几个小的陶瓷电容器。这些电容器具有高的射频电压和电流額定值，这就可以使匹配网络在 200 瓦特的条件下工作。100 瓦特的輸入在激励綫圈中产生数量級为 35 安培的电流。

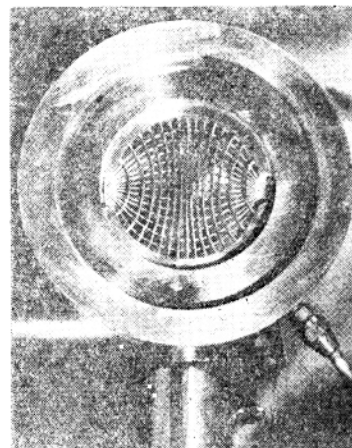


图 4 一种与本文所述相似的激励綫圈

激励部分是用小的不鏽钢管构成的，用水冷却以防止波导管过热，因为过热会引起波导尺寸的改变。

由于激励部分的电抗性阻抗引起某些軸向電場，所以也要使用模式滤波器。

輸入装置的性能将在下面同整个系統的性能一起討論。这种輸入装置的詳細報告也准备发表。

移相器

当要改变相位时，就需要一种精密的、連續可变的、小于 0.001 分貝电平变化的移相器。对移相器有着下列的要求：当电气长度变动时，移相器必須具有非常均匀的特性阻抗；必須将它終接在这个阻抗上；必須具有截面足够大的綫段来減少由于金属的有限电导率所引起的內壁損耗。

移相器属于可调节的 U 型同軸綫一类（見圖 5）。它包括两条固定的傳輸綫，用一条 U 型傳輸綫把它们連接在一起，它可以相对于固定部分作移动，和望远鏡样子差不多。单頻操作可以使用簡化的非恒定阻抗結構。移相器的固定部分包括一些精密的同軸綫，它们两头的終端都是匹配的，并有与移相器相同的特性阻抗。可动部分在尺寸上是稳定的，但是并不精密。如果两端都緊密地匹配于綫路的特性阻抗，那么由于精密傳輸綫終端不完善所